

新型 YdjM 超家族成员的钠/氢逆向转运蛋白功能鉴定*

王艳红 刘艳双 石德喜 朱保国 吕保磊 付诗雨 徐 苗 王 伟 殷奎德**

(黑龙江八一农垦大学生命科学技术学院 大庆 163319)

摘要 在原核生物中, 钠/氢逆向转运蛋白具有催化细胞内的 Na^+ 、 Li^+ 或 K^+ 等碱基阳离子的排出, 换取外部质子, 以降低有毒碱性金属阳离子的细胞质浓度和维持细胞内 pH 稳态起到了至关重要的作用。为了进一步挖掘中度嗜盐菌 *Halobacillus* Y5 中具有盐碱耐受性的钠/氢逆向转运蛋白基因并对其功能进行鉴定, 我们首先提取该菌的基因组 DNA, 然后采用 *Sau3AI* 随机酶切及功能互补的方法获得了一个新型的钠/氢逆向转运蛋白基因 *Ha_ydjM*。生物信息学分析表明, 该基因属于 YdjM 超家族成员, 是一个未知功能的膜蛋白, 系统发育分析证实, 其与来自 *Halobacillus* sp. Marseille -P 3789 的 YdjM (蛋白登录号 WP_101846656.1) 家族成员聚在一起但形成独立分支。研究发现, 该基因能够恢复大肠杆菌突变株 KNa^{bc} 对 0.2 M NaCl 和 5 mm LiCl 的耐受特性, 并且耐受碱性 pH 8.0。功能分析显示, 该蛋白呈现 pH 依赖的钠/氢逆向转运蛋白活性, 转运动力学分析表明, Na^+ 、 K^+ 、 Li^+ 在 KNa^{bc} 中 K_m 值分别是 0.43 ± 0.05 mM、 0.49 ± 0.06 mM、 0.64 ± 0.06 mM, 即对 Na^+ 、 K^+ 、 Li^+ 的亲和力分别是 $\text{Na}^+ > \text{K}^+ > \text{Li}^+$ 。综上所述, 我们认为 *Ha_ydjM* 代表了一种新型的钠/氢逆向转运蛋白。该项研究丰富了 YdjM 超家族成员, 并为其他未知膜蛋白功能分析提供依据。

关键词 钠/氢逆向转运蛋白 膜蛋白 功能鉴定 YdjM 超家族 喜盐芽胞杆菌

中图分类号 Q782

钠/氢逆向转运蛋白是与质子 (H^+) 输入相偶联并具有逆向转运 Na^+/H^+ 或同向转运 Na^+/OH^- 的载体膜蛋白^[1-4], 大多是 Na^+ 依赖型的 H^+ 转运和 H^+ 依赖型的 Na^+ 跨膜转运, 并且普遍分布在原核细菌的膜囊、真核生物的线粒体、动植物细胞或组织中^[5]。在高盐环境下, 其可维持细胞质内正常的生理 pH, 因此它在生物学上也发挥着至关重要的作用^[6]。目前为止, 原核生物中已经报道的钠/氢逆向转运蛋白家族主要包括 NhaA 家族、MFS 家族、Cpa1 家族、Cpa2 家族和 Cpa3 家族^[7]。其中, NhaA 家族是许多肠道细菌和大肠杆菌中最为重要的钠/氢逆向转运蛋白。在微生物界中, 源自大肠杆菌 (*E. coli*) 的 NhaA 是目前研究最为透彻的一种钠/氢逆向转运蛋白, 同时也是细菌中第一个被发现的 Na^+/H^+

* 国家自然科学基金 (31771692)、黑龙江八一农垦大学校内培育基金 (XZR2016-11) 资助项目

** 通讯作者, 电子邮箱: yinkuide@163.com

逆向转运蛋白^[8]。除此之外,人们在许多致病微生物中也发现了 NhaA 家族的其他 Na^+/H^+ 逆向转运蛋白,如 *Vibrio cholerae*、*Clostridium tetani*、*Helicobacter pylori*、*Salmonella typhi* 等^[9]。除了大肠杆菌主要的 Na^+/H^+ 逆向转运蛋白家族 NhaA 之外,原核生物中,还发现了 NapA, NhaP, NhaC, NhaD^[10]和 NhaB、NhaE^[11]。Etana Padan 等^[12]将这些蛋白与 NhaA 家族相比,其同源性很小或基本没有。在大肠杆菌中,有三个最为重要的 Na^+/H^+ 逆向转运蛋白——NhaA^[12]、NhaB^[13]和 ChaA^[14]。NhaA 能使大肠杆菌在高盐 (Na^+/Li^+) 胁迫下维持生长,并且在 Na^+ 存在的条件下,对其在碱性环境中的生长也是至关重要的^[15]; NhaB 也是大肠杆菌中的 Na^+/H^+ 逆向转运蛋白,它是由 504 个氨基酸组成的具有十二个 TMS 的跨膜蛋白。这类蛋白只有在低浓度 Na^+ 或低 pH 时才行使其功能; ChaA 在碱性条件下,具有 Na^+ (Ca^{2+}) / H^+ 逆向转运蛋白的活性^[14],而且此蛋白的表达能够影响胞内 K^+ 浓度,如果菌体缺乏基因 *chaA*,则 K^+ 的外排会受到抑制,故 ChaA 同时还有 K^+/H^+ 逆向转运蛋白的活性。因此,在大肠杆菌的耐盐能力上,缺少任何一种上述 Na^+/H^+ 逆向转运蛋白都会影响菌体的抗盐性,三者缺一不可。因此,实验中常用同时敲出 *nhaA* 和 *nhaB* 基因的盐敏感突变株 EP432,或是同时敲出 *nhaA*、*nhaB* 和 *chaA* 三个基因的盐敏感突变株 KNabc,通过功能互补法筛选和鉴定 Na^+ (Li^+ , K^+) / H^+ 逆向转运蛋白。本研究就是利用功能互补的方法从中度嗜盐菌 *Halobacillus* Y5 筛选到了新的钠/氢逆向转运蛋白基因 *Ha_ydjM*,然后对其功能进行鉴定,进一步丰富了 YdjM 家族成员,并为与其类似蛋白的研究提供可借鉴的理论基础。

1.1 材料与方法

1.1 材料

1.1.1 菌株及质粒

实验所用菌株中度嗜盐菌 *Halobacillus* Y5 由本实验室分离保存,盐碱敏感菌株 *E. coli* KNabc ($\Delta nhaA$, $\Delta nhaB$, $\Delta chaA$) 由东北农业大学微生物实验室提供,KNabc/pUC18 是将质粒 pUC18 经化学转化至 KNabc 的感受态细胞而得,KNabc/*Ha_ydjM* 为本实验获得的研究对象。

1.1.2 主要试剂及试剂盒

DNA 限制性内切酶: *Sau3AI*、T4 DNA 连接酶、Alkaline Phosphatase (CIAP) 牛小肠碱性磷酸酶,购自日本 TaKaRa 公司; DNA 胶回收试剂盒购自美国 Omega 公司; 其

他试剂均为分析纯。

1.1.3 培养基

LBK培养基：1 %蛋白胨、0.65%氯化钾和0.5 %酵母提取物，pH 值自然，121℃灭菌20 min，用于大肠杆菌KNabc培养；SG培养基：1 %蛋白胨、0.5 %酵母提取物、0.5 %酪蛋白、0.2 %氯化钾、0.3 %柠檬酸钠、2 %七水硫酸镁，3 %氯化钠，pH 值调至7.2-7.4，121℃灭菌20 min，用于*Halobacillus* Y5培养。

1.2 方法

1.2.1 *Halobacillus* Y5 总 DNA 提取

将*Halobacillus* Y5应用SG培养基在37℃，140 rpm培养约36 h后，4 ℃，2600×g，离心10 min，收集菌体，然后按着文献^[16]的步骤提取其菌体的DNA，经1%琼脂糖凝胶电泳检测后于-20℃保存，备用。

1.2.2 Na⁺/H⁺逆向转运蛋白新基因筛选

参照王艳红等^[17]方法构建 *Halobacillus* Y5 的基因文库，筛选钠/氢逆向转运蛋白基因的阳性克隆。

1.2.3 钠/氢逆向转运蛋白新基因序列分析

将上述筛选的阳性克隆质粒提取测序后，通过 NCBI 数据库 <https://blast.ncbi.nlm.nih.gov/Blast.cgi> 进行序列比对与分析；采用软件 DNAman 6.0 对开放式阅读框（ORF）、氨基酸多重序列比对；利用 <http://web.expasy.org/protparam/>对蛋白质的相对分子量和理论等电点进行分析；利用 http://www.fruitfly.org/seq_tools/promoter.html 进行启动子序列的预测；利用 <http://mobyle.pasteur.fr/cgi-bin/portal.py#forms::wordcount> 对蛋白质序列跨膜区进行预测；采用软件 MEGA 5.1 的 Neighbor-Joining 法构建系统发育学进化树^[18]。

1.2.4 耐盐碱能力测试

将序列分析后的钠/氢逆向转运蛋白新基因进行其耐盐碱能力的检测，以含有载体 pUC18 的菌株 KNabc (KNabc/pUC18) 作为阴性对照，分别进行耐盐性实验和耐碱性实验，进行耐盐实验时配置含有不同浓度的 NaCl 或 LiCl 的 LBK 培养基，耐碱性实验则用 Tris-HCl 将 LBK 培养基调节成不同 pH 值，接种后于 37 ℃, 140 r/min 培养 16-18 h，取适量的菌液进行 OD₆₀₀ 值测定^[19]。

1.2.5 钠/氢逆向转运蛋白活性的测定

将新基因以及对照进行反转膜的制备^[20], 然后采用 AO 荧光猝灭法^[21]进行钠/氢逆向转运蛋白活性的测定。具体方法: 将荧光参数进行设置: 激发光 (EX) 波长 492 nm, 发射光 (EM) 波长 526 nm; 向石英杯中加入 2.5 mL 缓冲液 B 同时加入 2 μ M 荧光指示剂吖啶橙 (AO) 和 40 μ g 待测反转膜, 抽吸混匀; 然后加入反应底物 Tris-D-乳酸, 终浓度为 5 mM, 其作用通过呼吸链产生跨膜 pH 梯度, 利用荧光分光光度计来监测 Δ pH 的变化; 当荧光强度下降至平衡状态时, 再向反应缓冲液中加入终浓度为 5 mM 的 Na^+ 、 K^+ 、 Li^+ , 破坏 Δ pH, 根据荧光强度的恢复程度判断该蛋白是否具有 Na^+ (Li^+ , K^+) / H^+ 逆向转运蛋白的活性和大小。

1.2.6 K_m 值的测定

K_m 值存在的意义可表明蛋白与底物之间的亲和力, 该值越大, 表明亲和力越小, 反之则相反。测试时, 在最适 pH 条件下, 选择不同浓度的 Na^+ 、 K^+ 、 Li^+ 测定转运蛋白活性大小, 以离子浓度为横坐标, 转运蛋白的活性为纵坐标进行非线性回归分析, 计算 K_m 值的大小。

2 结果

2.1 钠/氢逆向转运蛋白新基因筛选

采用含 0.2 M NaCl 的 LB 固体平板检测, 恢复大肠杆菌 (*E.coli*) KNabc 感受态细胞生长的阳性克隆菌约 150 株, 测序分析后, 其中 1 株可能为钠/氢逆向转运蛋白新基因, 将其命名为 pUC-HaY, 将其由北京华大基因生物科技有限公司测序, pUC-HaY 中插入的外源基因片段全长 3441 bp, 包含 3 个可能的开放阅读框 (ORF), 其中 ORF1 预测编码甘氨酸甜菜碱转运蛋白基因 *opuD* 已发表^[17], ORF2 预测编码 NmrA 家族转录因子 (因其一般不具有钠/氢逆向转运蛋白活性故不做进一步研究), ORF3 预测编码 YdjM 超家族的推测蛋白 (登录号 MH536807), 按着图 1 策略, 即在 ORF3 两端设计带有酶切位点的引物, 横线为设计 ORF3-F 和 ORF3-R 序列, 用于扩增 ORF3; 斜体为 *Xba*I (TCTAGA) 和 *Kpn*I (GGTACC); 方框为 SD 序列, 对其进行亚克隆, 命名为 Ha_YdjM, 作为本研究对象。

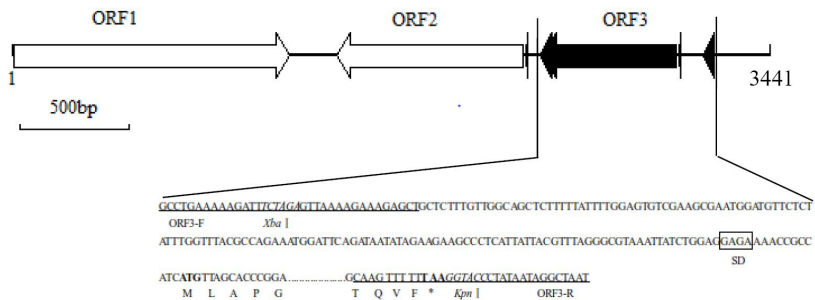


图1 Ha_YdjM的亚克隆策略
Fig. 1 Subcloning strategy of Ha_YdjM

2.2 Ha_YdjM 的序列分析

应用 DNAMAN 将 Ha_YdjM 与来自其他嗜盐芽胞杆菌的蛋白进行比对, 比对结果如图 2 所示, 它与登录号 WP_101846656.1、WP_082235595.1、WP_035544181.1、WP_085031358.1、WP_014641626.1 蛋白的同源性分别为 86%、65%、57%、58%和 57%。

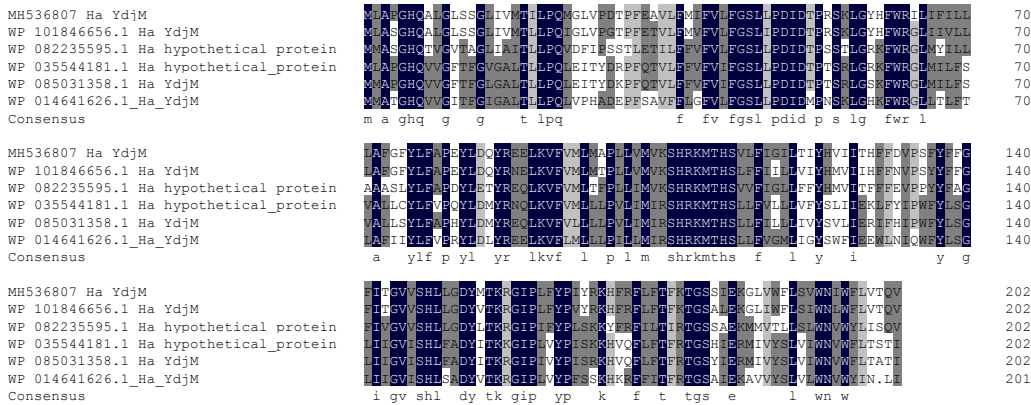


图 2 Ha_YdjM 与来自其他嗜盐芽胞杆菌蛋白的比对
Fig. 2 Multiple alignment of Ha_YdjM along with other proteins from *Halobacillus*

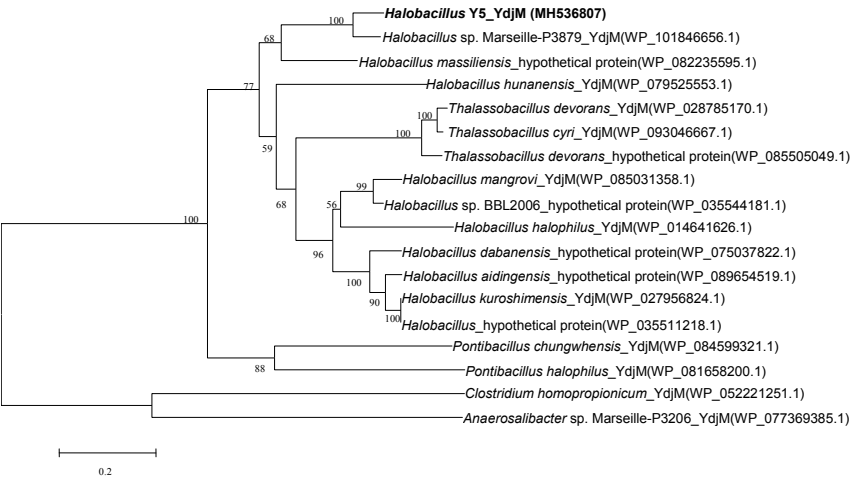
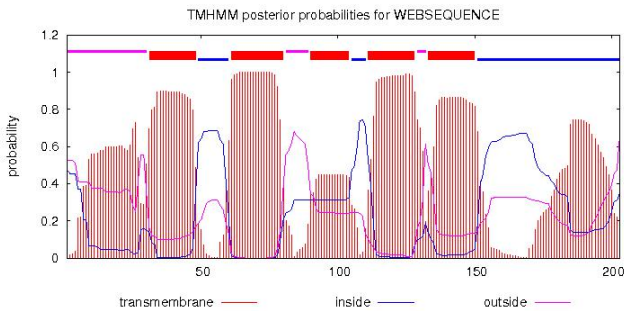


图 3 以氨基酸序列为基础的邻接法构建 Ha_YdjM 系统发育树
Fig. 3 Neighbour-joining phylogenetic tree of Ha_YdjM based on the amino acid sequence

通过 neighbour-joining 法构建的系统发育树（图 3）发现，与来自 *Halobacillus* sp. Marseille –P 3789 的 YdjM（蛋白号 WP_101846656.1）家族成员聚在一起但形成独立分支。因此，我们认为 Ha_YdjM 很可能是隶属于 YdjM 超家族的一个新成员。

已有研究表明，绝大部分的 Na^+/H^+ 逆向转运蛋白均为跨膜蛋白，因此，疏水性的氨基酸必定是其组成部分，而且存在一定数量的跨膜区。如果 Ha_YdjM 中的外源基因编码跨膜蛋白，疏水性氨基酸残基必然是其组成部分。所以，首先对 Ha_YdjM 进行跨膜分析，结果表明，其含有 5 个跨膜区（图 4）；疏水性分析表明，其编码的蛋白均为疏水性蛋白（图 5）。

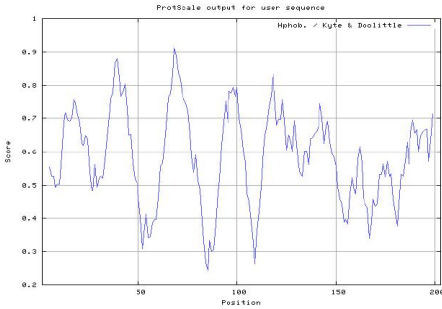


注：红色方块-跨膜区；粉色线-靠近周质空间一侧的亲水性环（Loop）

Note: red square - transmembrane; pink line - Hydrophilic loop near the periplasmic space

图 4 Ha_YdjM 的跨膜预测

Fig.4 Prediction of transmembrane helices for Ha_YdjM



注：正值代表疏水氨基酸、负值代表亲水氨基酸

Note: positive-hydrophobic amino acid, negative-hydrophilic amino acid

图 5 对 Ha_YdjM 编码蛋白进行疏水性分析

Fig.5 Hydrophobic property of deduced proteins for Ha_YdjM

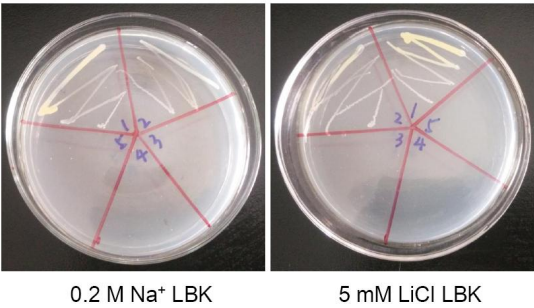
Ha_YdjM 编码的蛋白含有 5 个跨膜区，由 203 个氨基酸组成，分子量为 23,637.42 Dalton，等电点 pI 为 9.33，跨膜蛋白从 31-150（表 1），包括 TMS I（31-48），TMSII（61-80），TMS III（90-104），TMS IV（111-128），TMS V（133-150）

表 1 Ha_YdjM 推测的 5 个跨膜区域
Table 1 Five putative transmembrane segments of Ha_YdjM

TMS No.	N terminal	Amino acids	C terminal	length
1	31	PFEAVLFMIFVLFGSLLP	48	18
2	61	FWRILIFILLLAFGFYLFAP	80	20
3	90	LKVVFVMLMAPLLVMV	104	15
4	111	THSVLFIGILTIIYHVIIT	128	18
5	133	VPSFYFFGFITGVVSHLL	150	18

2.3 Ha_YdjM 耐盐碱能力测试

理论上 Ha_YdjM 为跨膜蛋白，应该具有耐盐碱能力，但为了实验的严谨，我们也
将 ORF2 进行了测试，这里仅仅显示 0.2M LBK 和 5mM LiCl 的 LBK 固体平板结果（图
6），实验结果证实 Ha_YdjM 在盐敏感菌株中具有耐盐能力，而 ORF2 不能在实验条件
下生长，与原来预测相符；耐碱结果表明（图 7），其可耐受至 pH 8.0，所以后期制备
Ha_YdjM 的反转膜进行活性测定。



注：1-pUC-HaY；2-Ha_YdjM；3-ORF2；4-pUC18 载体；5-未接种
Note: 1 - pUC-HaY; 2 - Ha_YdjM; 3 - ORF2; 4- pUC18 plasmid; 5 - uncultured bacteria

图 6 Ha_YdjM 的生长情况
Fig.6 Growth of Ha_YdjM

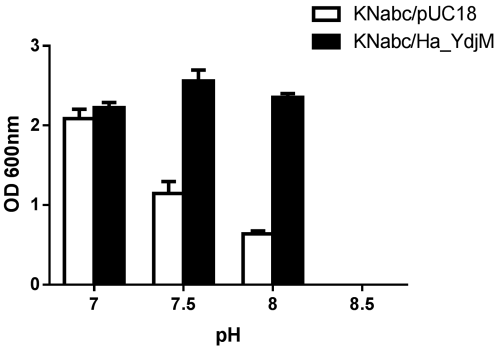


图 7 Ha_YdjM 的 pH 耐受能力测试
Fig.7 Growth test for pH resistance of Ha_YdjM

2.4 Ha_YdjM 的钠/氢逆向转运蛋白活性的测定

将 KNabc/Ha_YdjM 和对照 KNabc/pUC18 分别制备成反转膜(ISO)，以吖啶橙(AO)作为荧光检测剂，检测单价离子 Na^+ (Li^+ , K^+) / H^+ 的逆向转运蛋白活性。结果发现：当荧光猝灭至最小值时，加入一定浓度的 Na^+ (Li^+ , K^+) 的溶液，KNabc/Ha_YdjM 的反转膜的荧光值会有不同程度的升高变化，而阴性对照 KNabc/pUC18 的荧光值无任何变化，即在荧光猝灭的最小值 (图 8)。因此，我们认为 KNabc/Ha_YdjM 能够转运一价的 Na^+ 、 Li^+ 、 K^+ ，与跨膜分析结果一致，该蛋白具有 Na^+/H^+ 逆向转运蛋白活性。

通常情况下，pH 影响 Na^+ (Li^+ , K^+) / H^+ 逆向转运蛋白的活性，即蛋白处在不同 pH 环境下，其活性的大小可能有所不同。因此，我们在不同 pH (7.0-8.5) 反应体系下，检测 KNabc/Ha_YdjM 对一价阳离子 (Na^+ 、 Li^+ 、 K^+) 的转运活性均随 pH 的变化而发生改变，而当其在 pH8.0 的反应缓冲液中，对一价阳离子 (Na^+ 、 Li^+ 、 K^+) 的转运活性最高 (图 9)，因此，我们认为 KNabc/Ha_YdjM 对单价阳离子 Na^+ 、 Li^+ 、 K^+ 的转运活性具有 pH 依赖性，并且活性随着 pH 的变化而发生改变。

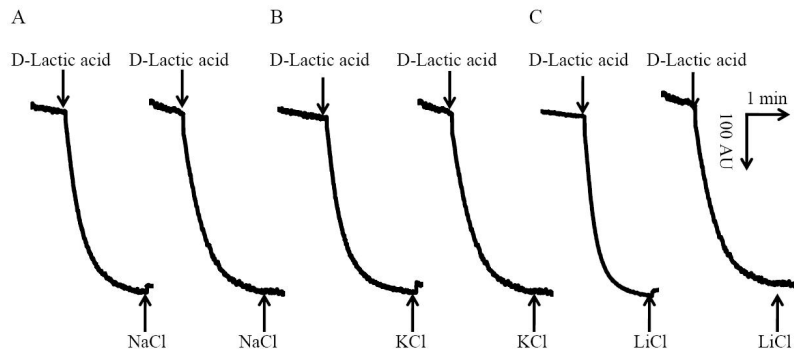


图 8 KNabc/Ha_YdjM 的 Na^+ (Li^+ , K^+) / H^+ 逆向转运蛋白活性的测定
Fig.8 Assays for Na^+ (Li^+ , K^+) / H^+ antiport activity of KNabc/Ha_YdjM

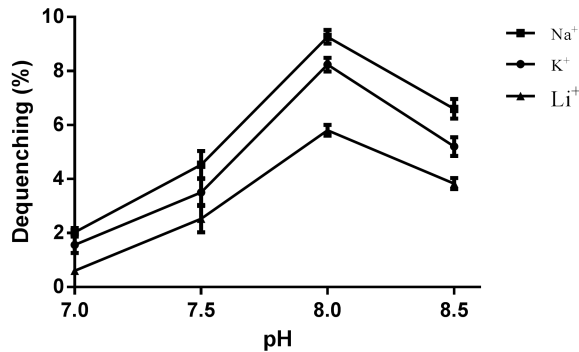


图9 不同pH KNabc/Ha_YdjM的 Na^+ (Li^+ , K^+) / H^+ 逆向转运蛋白活性
Fig.9 Na^+ (Li^+ , K^+) / H^+ antiport activity of KNabc/Ha_YdjM at different pH

2.4 Ha_YdjM 转运蛋白 K_m 值的测定

我们已经明确 Ha_YdjM 能够转运 Na^+ 、 Li^+ 、 K^+ 三种单价阳离子，并且对三者的转运能力是不同的，也就意味着 Ha_YdjM 对不同的转运底物具有不同的偏好能力， K_m 值的研究表明，该值越小，表示对底物的亲和能力越强。应用 GraphPad Prism 6.01 软件，通过米氏方程计算 Na^+ 、 K^+ 、 Li^+ 的 K_m 值分别是 $0.43 \pm 0.05 \text{ mM}$ 、 $0.49 \pm 0.06 \text{ mM}$ 、 $0.64 \pm 0.06 \text{ mM}$ （图 10），也就意味着 Ha_YdjM 对 Na^+ 、 Li^+ 、 K^+ 的亲和力大小依次是 $\text{Na}^+ > \text{K}^+ > \text{Li}^+$ 。

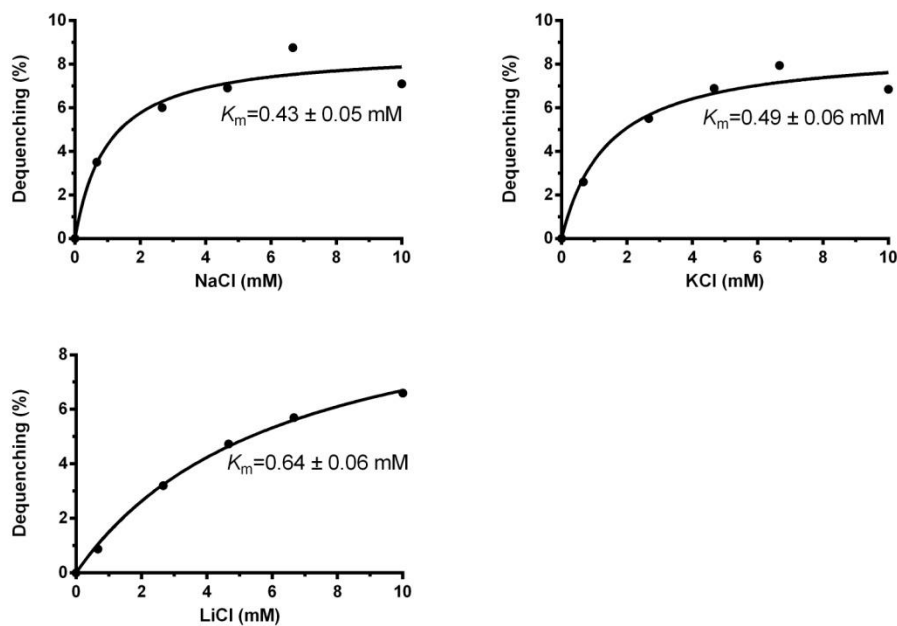


图 10 KNabc/Ha_YdjM 的 $K_m^{\text{Na}^+ (\text{Li}^+, \text{K}^+)}$ 的计算

Fig.10 Calculation of $K_{0.5}$ values of KNabc/Ha_YdjM for Na^+ , Li^+ and K^+

3. 讨论

本研究中，我们首先建立了中度嗜盐菌 *Halobacillus* Y5 的基因文库，然后通过功能互补得到了新的钠/氢逆向转运蛋白新基因 *Ha_ydjM*。对实验结果进行分析发现，来自 *Halobacillus* Y5 的蛋白 Ha_YdjM 属于 YdjM 超家族的新成员，并与来自 *Halobacillus* sp. Marseille -P 3789 的 YdjM（蛋白登陆号 WP_101846656.1）氨基酸序列同源性最高，而且聚在一起但形成独立分支。在以大肠杆菌突变株 KNabc 作为宿主菌时，能够恢复其在 0.2 M NaCl 和 5 mM LiCl 的生长特性，并且具有一定的碱耐受性。功能研究表明该蛋白呈现 pH 依赖的钠/氢逆向转运蛋白活性，并且 K_m 值实验表明 Ha_YdjM 蛋白对 Na^+ 、 Li^+ 、 K^+ 的亲和力大小依次是 $\text{Na}^+ > \text{K}^+ > \text{Li}^+$ 。所以，我们认为 Ha_ydjM 代表了新的 YdjM 超家

族成员并明确其钠/氢逆向转运蛋白功能。

目前, 仍然有许多蛋白质家族的功能是未知的, 而发现这些功能是后基因组生物学的基本任务, 尤其是对于成员分布较广泛的家族^[22]。蛋白Ha_YdjM属于YdjM超家族, 但其功能不同于已有的YdjM家族成员, 是一类新的蛋白。YdjM超家族多为一类金属离子依赖的酶, 但其种类与作用机制各不相同, 如乙酰化酶^[23], 脱乙酰酶的区域由精氨酸酶和乙酰化酶组成的多链状的 α -螺旋包围的 β -折叠, 并且二价的金属离子作为辅助因子, 其是癌症和表观遗传的调控者; Huang Lili et al^[22]研究认为DUF89蛋白在代谢破坏调控中具有金属离子依赖的磷酸酶活性, 以独立或融合蛋白的形式存在, 并因为对不同的离子有不同的偏好分为不同的亚科; 另外和磷酸酶相关的研究还有金属依赖是蛋白磷酸酶, 其可以为细胞外的磷酸激酶的调控^[24]; 还有来自嗜热真菌*Malbranchea cinnamomea*^[25]的金属依赖的水解酶并没有明显的水解特性, 反而在1 mM Mn^{2+} 存在下具有糖化酶的特性, 这一结果说明仅在序列上有同源性的未必功能就相同。来自*Pigmentiphaga* sp. Strain DL-8 的CbaA^[26]水解蛋白, 编码339个氨基酸残基, 能够被 Mg^{2+} 、 Ni^{2+} 、 Ca^{2+} 、 Zn^{2+} 等金属离子激活, 只有保守氨基酸组氨酸288和谷氨酸301作为质子的供体与受体, 同源重组结果表明缺失CbaA的*Pigmentiphaga* sp. Strain DL-8不能降解6-氯-2-苯并噻唑啉酮(CDHB), *cbaA*是菌株*Pigmentiphaga* sp. Strain DL-8降解CDHB的关键基因。在真核生物布氏锥虫(*Trypanosoma brucei*)中, Marschner A et al^[27]等曾研究甲硫氨酸氨肽酶也是金属依赖的, 该酶对蛋白的转录后加工以及发现新药具有重要作用。而我们所研究的来自*Halobacillus* Y5的蛋白Ha_YdjM的确不同于已发现的上述蛋白, 虽然在同源比对时其具有金属依赖的酶的活性, 但是由于我们的筛选初衷是为了得到新的钠/氢逆向转运蛋白而利用的是功能互补以及盐敏感突变株, 而筛选的阳性克隆又恰好将突变株互补, 并且检测到钠/氢逆向转运蛋白活性, 所以本研究的Ha_YdjM蛋白是国内首次报道的属于YdjM家族并具有钠/氢逆向转运蛋白活性的新蛋白, 补充并丰富了YdjM家族的成员, 为其后续研究奠定坚实的理论基础。

参考文献

- [1] Uzdavinyas P, Coincon M, Nji E, et al. Dissecting the proton transport pathway in electrogenic Na^+/H^+ antiporters. *Proceedings of the National Academy of Sciences of the United States of America*, 2017, 114(7): 1101-1110.
- [2] Padan, E. & Schuldiner, S. Molecular physiology of Na^+/H^+ antiporters, key transporters

- in circulation of Na^+ and H^+ in cells. *Biochim. Biophys. Acta*, 1994, 1185(2): 129-151
- [3] Ito, M., Guffanti, A. A., Oudega, B. & Krulwich, T. A. *mrp*, a multigene, multifunctional locus in *Bacillus subtilis* with roles in resistance to cholate and to Na^+ and in pH homeostasis. *J. Bacteriol.* 1999, 181(8): 2394-2402.
- [4] Padan, E., Bibi, E., Ito, M. & Krulwich, T. A. Alkaline pH homeostasis in bacteria: new insights. *Biochim. Biophys. Acta*, 2005, 1717(2): 67-88.
- [5] Jr S M, Reddy V S, Tamang D G, et al. The transporter classification database. *Nucleic Acids Research*, 2014, 42(Database issue): 251-258.
- [6] Quinn M J, Resch C T, Sun J, et al. NhaP1 is a $\text{K}^+(\text{Na}^+)/\text{H}^+$ antiporter required for growth and internal pH homeostasis of *Vibrio cholerae* at low extracellular pH[J]. *Microbiology*, 2012, 158(4): 1094-1105.
- [7] 杨礼富, 赵百锁, 杨苏声. 细菌钠离子输出系统的类型及其可能机制. *微生物学报*, 2007, 47(6): 1110-1114.
- YANG L F, ZHAO B S, YANG S S. Sodium ion transportation system and its possible mechanisms in Bacteria. *Acta Microbiologica Sinica*, 2007, 47(6): 1110-1114.
- [8] Padan E. Functional and structural dynamics of NhaA, a prototype for Na^+ and H^+ antiporters, which are responsible for Na^+ and H^+ homeostasis in cells. *Biochimica Et Biophysica Acta*, 2014, 1837(7): 1047-1062.
- [9] Dwivedi M, Sukenik S, Friedler A, et al. The Ec-NhaA antiporter switches from antagonistic to synergistic antiport upon a single point mutation. *Scientific Reports*, 2016, 6:23339.
- [10] Zhang H, Wang Z, Wang L, et al. Cloning and identification of a novel NhaD-type Na^+/H^+ antiporter from metagenomic DNA of the halophilic bacteria in soil samples around Daban Salt Lake. *Extremophiles*, 2014, 18(1): 89-98.
- [11] Sousa P M, Videira M A, Vorburger T, et al. The novel NhaE-type Na^+/H^+ antiporter of the pathogenic bacterium *Neisseria meningitidis*. *Archives of Microbiology*, 2013, 195(3): 211-217.
- [12] Pinner E, Carmel O, Bercovier H, et al. Cloning, sequencing and expression of the *nhaA* and *nhaR* genes from *Salmonella enteritidis*. *Archives of Microbiology*, 1992, 157(4): 323-328.
- [13] Cui Y, Cheng B, Meng Y, et al. Expression and functional analysis of two NhaD type antiporters from the halotolerant and alkaliphilic *Halomonas* sp. Y2. *Extremophiles*, 2016, 20(5): 1-9.
- [14] Ohyama T, Igarashi K, Kobayashi H. Physiological role of the *chaA* gene in sodium and

calcium circulations at a high pH in *Escherichia coli*. Journal of Bacteriology, 1994, 176(14): 4311-4315.

- [15] 徐宁, 程海娇, 刘清岱, 等. 细菌 Na^+/H^+ 逆向转运蛋白的研究进展. 微生物学通报, 2015, 42(10): 2002-2011.

XU N, CHENG H J, LIU Q D et al. Research progress of the Na^+/H^+ antiporters in bacteria. Microbiology China, 2015, 42(10): 2002-2011.

- [16] Fakharany E E, Hassan M. A universal method for extraction of genomic DNA from various microorganisms using lysozyme. New Biotechnology, 2016, 33:S210-S210.

- [17] 王艳红, 曹宁, 贾桂燕, 等. 中度嗜盐菌 *Halobacillus* Y5 甘氨酸甜菜碱转运蛋白 *opuD* 基因的克隆及功能分析. 中国生物制品学杂志, 2017, 30(3): 258-263.

WANG Y H, CAO N, JIA G Y et al. Cloning and functional identification of glycine betaine-cholinecarnitine transporter *opuD* gene from *Halobacillus* Y5. Chinese Journal Biologicals, 2017, 30(3): 258-263.

- [18] Som A, Fuellen G. The effect of heterotachy in multigene analysis using the neighbor joining method. Molecular Phylogenetics & Evolution, 2009, 52(3):846-851.

- [19] Meng L, Meng F, Zhang R, et al. Characterization of a novel two-component $\text{Na}^+(\text{Li}^+, \text{K}^+)/\text{H}^+$ antiporter from *Halomonas zhaodongensis*. Scientific Reports, 2017, 7(1): 4221-4234.

- [20] Rosen B P. Ion extrusion system in *Escherichia coli*. Methods in Enzymology, 1986, 125(1): 328-336.

- [21] Wang Y, Song N, Yang L, et al. A novel NhaD-type Na^+/H^+ antiporter from the moderate halophile and alkaliphile *Halomonas alkaliphila*. Canadian Journal of Microbiology, 2017, 63(7):596-607.

- [22] Huang L, Khusnutdinova A, Nocek B, et al. A family of metal-dependent phosphatases implicated in metabolite damage-control. Nature Chemical Biology, 2016, 12(8): 1-8.

- [23] López J E, Sullivan E D, Fierke C A. Metal-dependent Deacetylases: Cancer and Epigenetic Regulators. Acs Chemical Biology, 2016, 11(3): 706-729.

- [24] Li R, Gong Z, Pan C, et al. Metal-dependent protein phosphatase 1A functions as an extracellular signal-regulated kinase phosphatase. Febs Journal, 2013, 280(11): 2700-2711.

- [25] Mahajan C, Basotra N, Singh S, et al. *Malbranchea cinnamomea* : A thermophilic fungal source of catalytically efficient lignocellulolytic glycosyl hydrolases and metal dependent enzymes. Bioresource Technology, 2015, 200: 55-63.

- [26] Dong W, Wang F, Huang F, et al. Erratum for Dong et al. Metabolic Pathway Involved in 6-Chloro-2-Benzoxazolinone Degradation by *Pigmentiphaga* sp. Strain DL-8 and Identification of the Novel Metal-Dependent Hydrolase CbaA. Appl Environ Microbiol, 2016, 82(14): 4169-4179.
- [27] Marschner A, Klein C D. Metal promiscuity and metal-dependent substrate preferences of *Trypanosoma brucei*, methionine aminopeptidase 1. Biochimie, 2015, 115: 35-43.

Functional Identification of Na⁺/H⁺ Antiporter in Novel YdjM

Superfamily Members

WANG Yan-hong LIU Yan-shuang SHI De-xi ZHU Bao-guo LV Bao-lei FU Shi-yu
XU Miao WANG Wei YIN Kui-de

(College of Life Science and Technology, Heilongjiang Bayi Agricultural University, Daqing, 163319)

Abstract: In prokaryotes, Na⁺/H⁺ antiporters catalyze the efflux of intracellular alkali cations such as Na⁺, Li⁺ or K⁺ in exchange for external protons, which play a vital role in reducing the cytoplasmic concentration of toxic alkali cations and supporting intracellular pH homeostasis under alkaline conditions. To obtain as many (especially novel) Na⁺/H⁺ antiporter genes as possible, genomic DNA from the *Halobacillus* Y5 was screened, then partially digested with *Sau3AI* selected in *E. coli* KNabc, which lacks three major Na⁺/H⁺ antiporters. The gene designated *Ha_ydjM* (*ydjM* from the *Halobacillus* Y5) was screened, which showed the novel Na⁺/H⁺ antiporter, belong to a member of YdjM superfamily. It is a membrane protein of unknown function. Phylogenetic analysis based on the neighbour-joining algorithm showed that Ha-YdjM showed the closer phylogenetic relationship with YdjM (accession version No. WP_101846656.1) from *Halobacillus* sp. Marseille -P 3789 but it is a separate branch. The presence of Ha-YdjM conferred tolerance of *E. coli* KNabc to NaCl up to 0.2 mol •L⁻¹ and to LiCl up to 5 mmol •L⁻¹ and to an alkaline pH 8.5. pH-dependent Na⁺/H⁺ antiport activity was detected from everted membrane vesicles prepared from *E. coli* KNabc/Ha-YdjM but not those of KNabc/pUC18. The Michaelis-Menten kinetics analysis showed that *K_m* values for Na⁺, K⁺, Li⁺ were 0.43 ± 0.05 mM, 0.49 ± 0.06 mM, 0.64 ± 0.06 mM, respectively, indicating that the preference of Ha-YdjM for the transported cations was Na⁺ > K⁺ > Li⁺. Taken together, *Ha_ydjM* represents a novel Na⁺/H⁺ antiport. This study found new members of the YdjM superfamily and provided insights for functions of other unknown membrane members.

Key words Na⁺/H⁺ antiporter membrane proteins functional identification
YdjM superfamily *Halobacillus*